

## 수직자기이방성을 갖는 [Pd/Co]/FeMn 구조에서의 미세 패턴 크기에 따른 자기특성

허장<sup>1\*</sup>, 주호완<sup>2</sup>, 조규일<sup>3</sup>, 김현신<sup>1</sup>, 이기암<sup>1</sup>, 이상석<sup>3,5</sup>, 황도근<sup>3,4</sup>

<sup>1</sup>단국대학교, 대학원 물리학과, 충남 천안시 안서동, 330-714

<sup>2</sup>상지대학교 생명과학연구소, 강원도 원주시 우산동, 220-702

<sup>3</sup>상지대학교 대학원 동서의료공학과, 강원도 원주시 우산동, 220-702

<sup>4</sup>상지대학교 응용물리전자학과, 강원도 원주시 우산동, 220-702

<sup>5</sup>상지대학교 한방의료공학과, 강원도 원주시 우산동, 220-702

### 1. 서론

최근까지도 MRAM(magnetic random recording memory) 그리고 고밀도 자기기록 read sensors로의 광범위한 응용성 때문에 스피밸브(spin-valves) devices는 활발히 연구되고 있다. 특히 스피밸브 구조에서 반강성체와 결합한 강자성체 사이의 계면에서 발생하는 교환바이어스 (exchange bias ;  $H_{ex}$ ) 현상에 대한 학문적 규명은 스피밸브 devices로의 응용성 향상을 위하여 많은 연구가 이루어졌다. 스피밸브와 교환바이어스 효과에 대한 일반적인 연구는 면상(in-plane) 자기이방성을 갖는 박막구조가 대부분이었다. 이러한 면상 자기이방성을 갖는 박막구조는 그 크기를 미크론 이하로 패터닝(patterning) 할 때, 자화변형 및 미세 자구(magnetic domain)가 패턴소자의 가장자리에서 소용돌이(vortex)자화로 인하여 꽃무늬(flower structure)를 발생시켜 박막의 보자력(coercivity ;  $H_c$ ) 증가와 자화의 왜곡현상이 발생하는 요인이 된다.[1,2] 이러한 단점을 극복하기 위하여 제안된 것이 수직자기이방성(perpendicular magnetic anisotropy ; PMA)을 갖는 Pt/Co 그리고 Pd/Co 다층박막을 이용한 박막구조이다. 이러한 연구는 자기기록매체에 많은 연구가 이루어졌으며, 근래에 F. Garica 등을 비롯하여 몇몇의 연구그룹에 의하여 교환바이어스에 대하여 연구되고 있다.[3-6] 하지만 강한 수직자기이방성으로 인한 큰 보자력은 스피밸브 구조에서 자유층의 큰 스위칭장(swapping field)과 교환바이어스의 감소를 발생하며, 이는 수직스피밸브 디바이스로의 응용에 있어 단점으로 발생한다. 또한 수직자기이방성을 갖는 구조에서의 자기 특성에 대한 명확한 규명이 미비한 상태이다. 이러한 이유로 본 논문은 수직자기이방성을 갖는 [Pd/ferromagnet]<sub>5</sub> 그리고 [Pd/ferromagnet]<sub>5</sub>/FeMn 다층박막에서 강자성체의 물질 Co, CoFe에 따라 최적화된 다층박막의 총 두께를 고정하여 각 강자성체의 물질의 자화(magnetization)를 고정하여 반복충수를 고정한 구조를 이용하여 미세 패턴을 하였을 때 그 크기에 따라 보자력과 교환바이어스의 변화를 관찰하였다.

### 2. 실험 방법

시편은 실온에서 3인치 dc 마그네트론 스퍼터링 시스템(magnetron sputtering system)을 이용하여 glass 위에 증착하였다. 시편의 일정한 형태를 유지하기 위하여 제작된 금속 마스크를 사용하여 인가 자장 없이 증착하였다. 초기진공도(backgroud pressure)는  $3.0 \times 10^{-7}$  Torr 이하를 유지하였고, 작업 진공도(working pressure)는 Ar gas를 주입하여  $2.0 \times 10^{-3}$  Torr 이하로 유지하였다. 꼭대기층 FeMn의 산화를 방지하기 위하여 보호층(capping layer)으로 Ta을 층착하였다. 제작시 사용한 각 물질 Ta, FeMn, Pd, Co 그리고 CoFe 물질들은  $0.06 \sim 0.11$  nm/s의 증착비로 제작되었다. 이와 같이 제작된 시료는 리소공정을 이용하여  $1 \times 1 \mu\text{m}^2$  크기까지 제작하였다. 수직자기이방성에 대한  $H_{ex}$  와  $H_c$  을 측정하기에 보편적인 4-탐침법 자기저항 측정 장비를 이용하여 측정하는 방법으로는 자성체의 자기모멘

트가 매우 작기 때문에 직접적으로 측정하기 어렵다. 그래서 Hong 그리고 Giordano *et. al.* 의하여 보고 되어진 4-탐침법 자기저항 측정 장비를 이용하여 실온에서 EHE (extraordinary hall effect)를 측정하였다.[7]

### 3. 실험결과 및 고찰

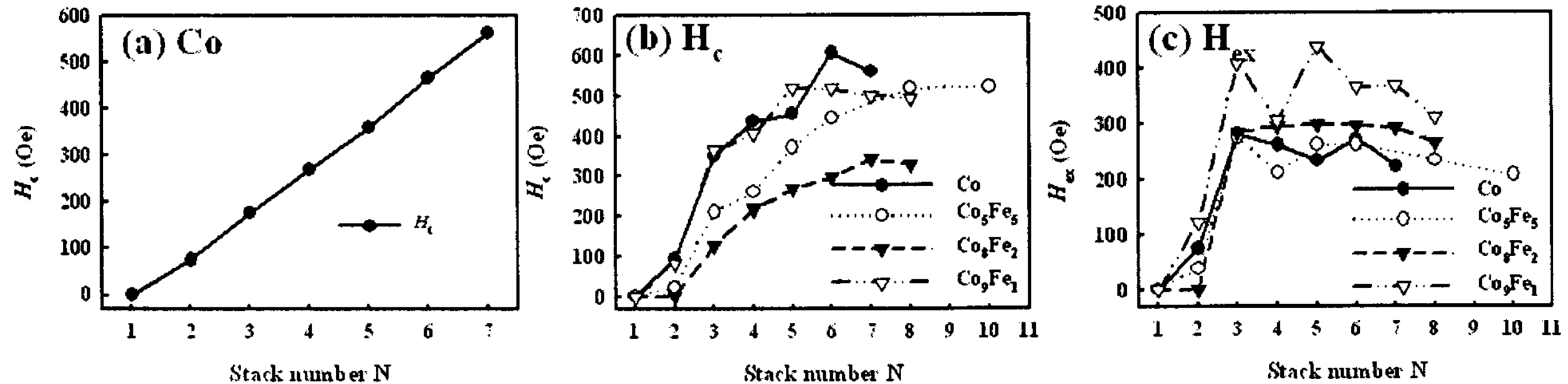


Fig. 1. The  $H_{ex}$  and  $H_c$  as function of number of stack  $N$  in (a) Ta(2.0 nm)/[Pd(3.1/ $N$ )/Co(1.2/ $N$ )] $N$ /Ta(2.0), (b),(c) Ta(2.0 nm)/[Pd(3.1/ $N$ )/FM] $N$ /FeMn(10)/Ta(2.0) multilayers (FM: Co(1.2/ $N$ ), Co<sub>5</sub>Fe<sub>5</sub>(0.9/ $N$ ), Co<sub>8</sub>Fe<sub>2</sub>(0.9/ $N$ ) and Co<sub>9</sub>Fe<sub>1</sub>(0.9/ $N$ )).

수직자기이방성을 갖는 (Pd/Co) 다층박막에서 가장 최적화된 구조는 [Pd(0.6 nm)/Co(0.23)]x5 였다. 수직자기이방성은 크게 부피자기이방성(volume magnetic anisotropy)과 표면자기이방성(surface magnetic anisotropy)에 밀접한 관련이 있다. 여기에서 표면자기이방성에 의한 수직자기이방성을 확인하고자 최적화된 구조에서 부피와 강자성이 갖는 자화를 고정하기 위하여 전체 두께를 고정하고 Pd/Co 다층박막을 반복층수  $N$ 에 대하여 나누어 보았다. 그 결과는 fig. 1 (a)에 보이고 있으며, 다층 박의 구조는 Ta(2.0 nm)/[Pd(3.1/ $N$ )/Co(1.2/ $N$ )] $xN$ /Ta(2.0)이다. 반복층수가 최소 2층에서부터 표면이 방성에 의한 수직 자화 곡선이 나타나기 시작하였으며, 반복층수가 1에서 7층으로 증가함에 따라 0 Oe에서 570 Oe까지 선형적으로 증가한 결과를 얻었다. fig. 2에 (b), (c)는 Ta(2.0 nm)/[Pd(3.1/ $N$ )/FM] $N$ /FeMn(10)/Ta(2.0) 다층박막 구조에서 강자성(ferromagnet:FM) 물질과 반복층수에 따른 보자력과 교환바이어스를 나타낸 것이다. 보자력과 교환바이어스의 결과는 그림에 보인 것과 같이 같은 경향을 얻었다. 여기서 주목할 수 있는 것은 fig. 2 (c)에서 반복층수 3 층 이상에서는 교환바이어스가 거의 일정하게 나타나는 것을 볼 수 있다. 이것으로 교환바이어스는 반복층수에 의한 표면자기이방성과는 큰 관계가 없는 것으로 사료되며 교환바이어스가 발생하기 위해서는 최소 3 층의 다층박막이 요구되는 것으로 판단된다. 이렇게 얻었진 시편을 이용하여 패턴 크기에 따라 자기특성의 변화를 관찰하려 한다.

### 4. 참고문헌

- [1] J. Camerero, Y. Pennec, J. Vogel, M. Bonfim, S. Pizzini, F. Ernult, F. Fettar, F. Garcia, F. Lancon, L. Billard, B. Dieny, *Phys. Rev. Lett.* **91**, 27201 (2003).
- [2] H. G. Cho, Y. K. Kim, S. R. Lee, *IEEE Trans. Magn.* **38**(5), 2685 (2002).
- [3] J. Sort, B. Rodmacq, S. Auffret, B. Dieny, *Appl. Phys. Lett.* **83**(9), 1800 (2003).
- [4] C. H. Marrows, *Phys. Rev. B* **68**, 012405 (2003).
- [5] J. Sort, B. Rodmacq, F. Garcia, S. Auffret, B. Dieny, *J. Appl. Phys.* **95**(11), 7163 (2004).
- [6] J. Sort, B. Dieny, M. Fraune, C. Koenig, F. Lunnebach, B. Beschoten, G. Guntherodt, *Appl. Phys. Lett.* **84**(18), 3696 (2004).
- [7] C. L. Canedy, X. W. Li, and Gang Xiao, *J. Appl. Phys.* **81**, 5367(2000).